

*FIG. 1*

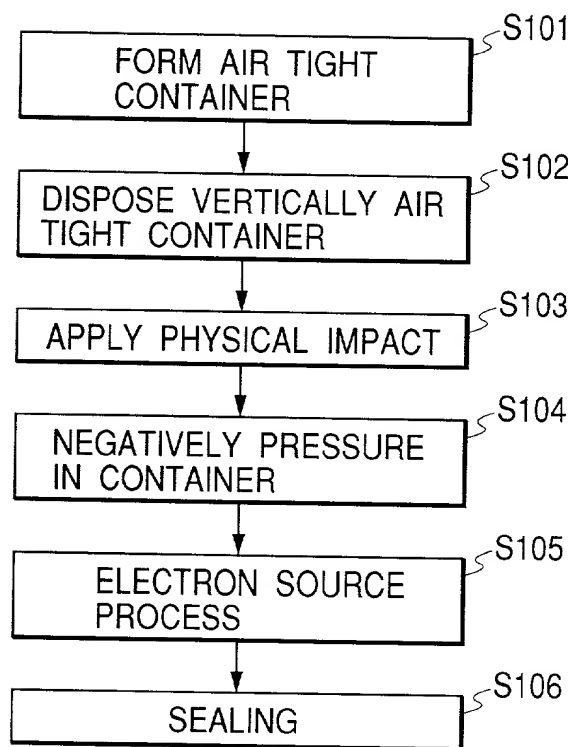
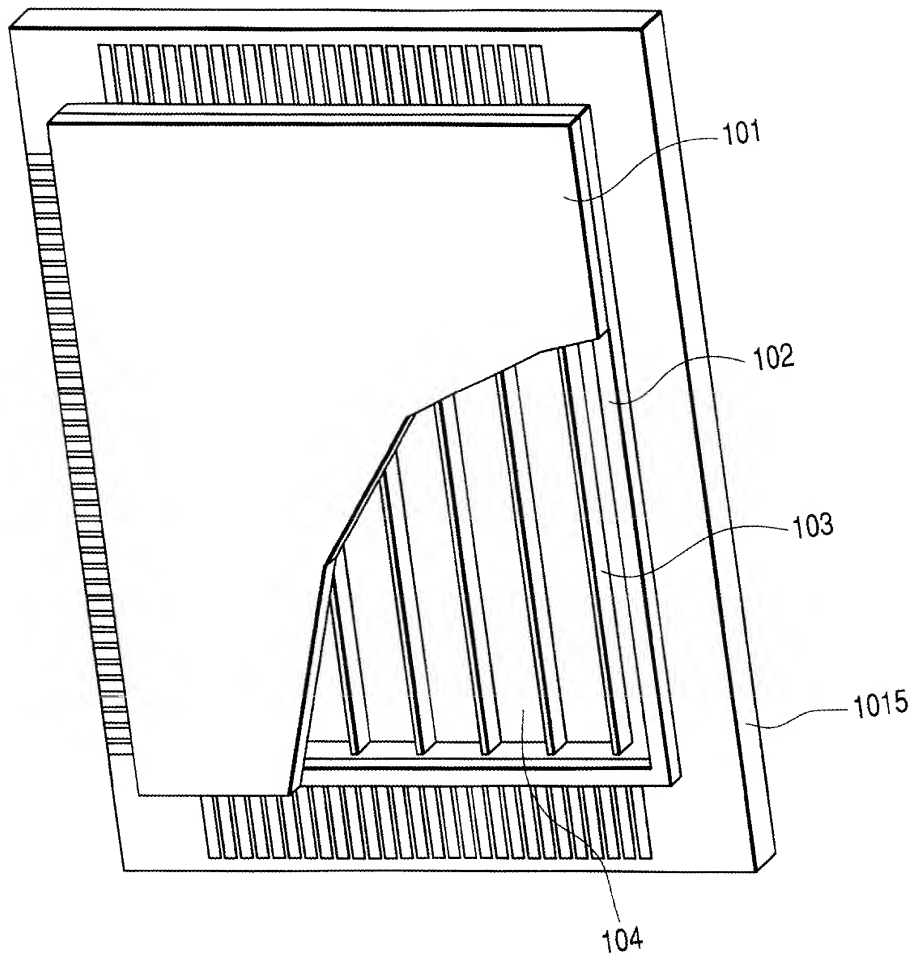
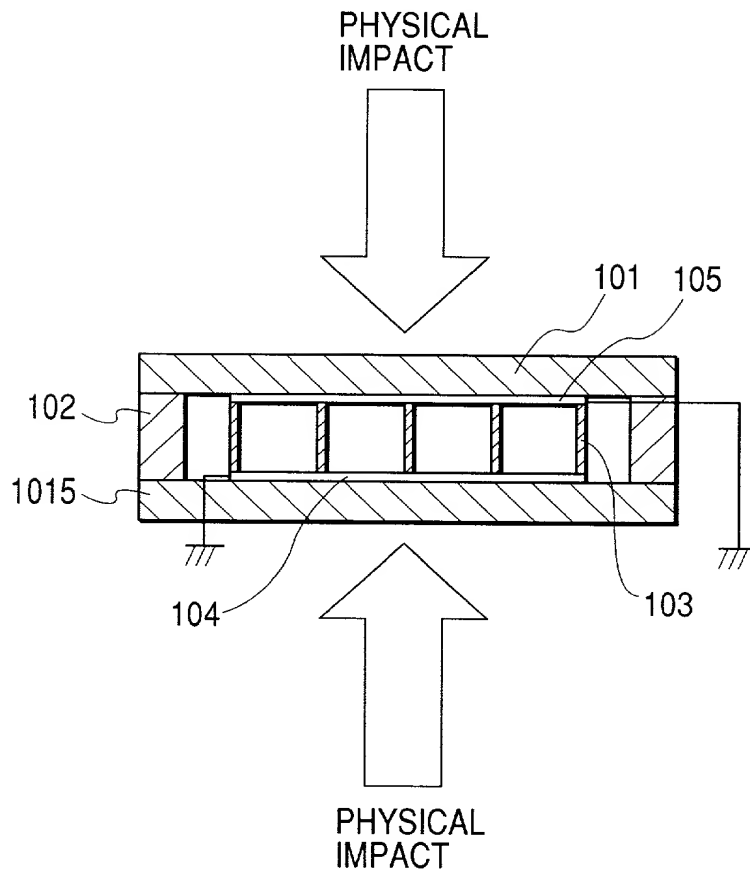


FIG. 2

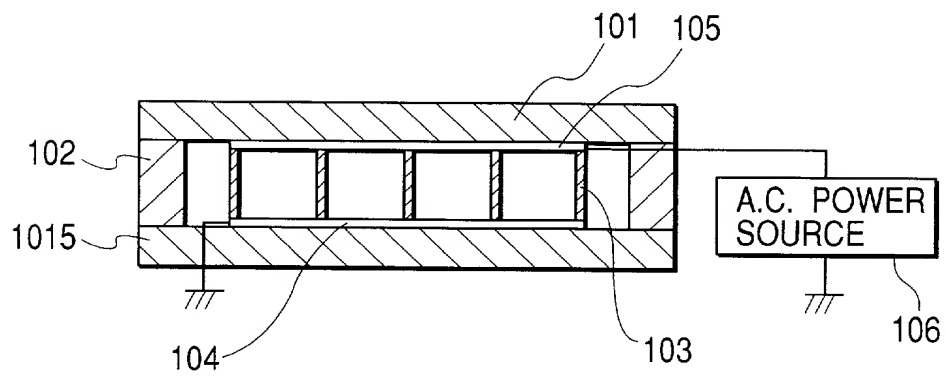


LONGITUDINAL  
DIRECTION OF  
SPACER

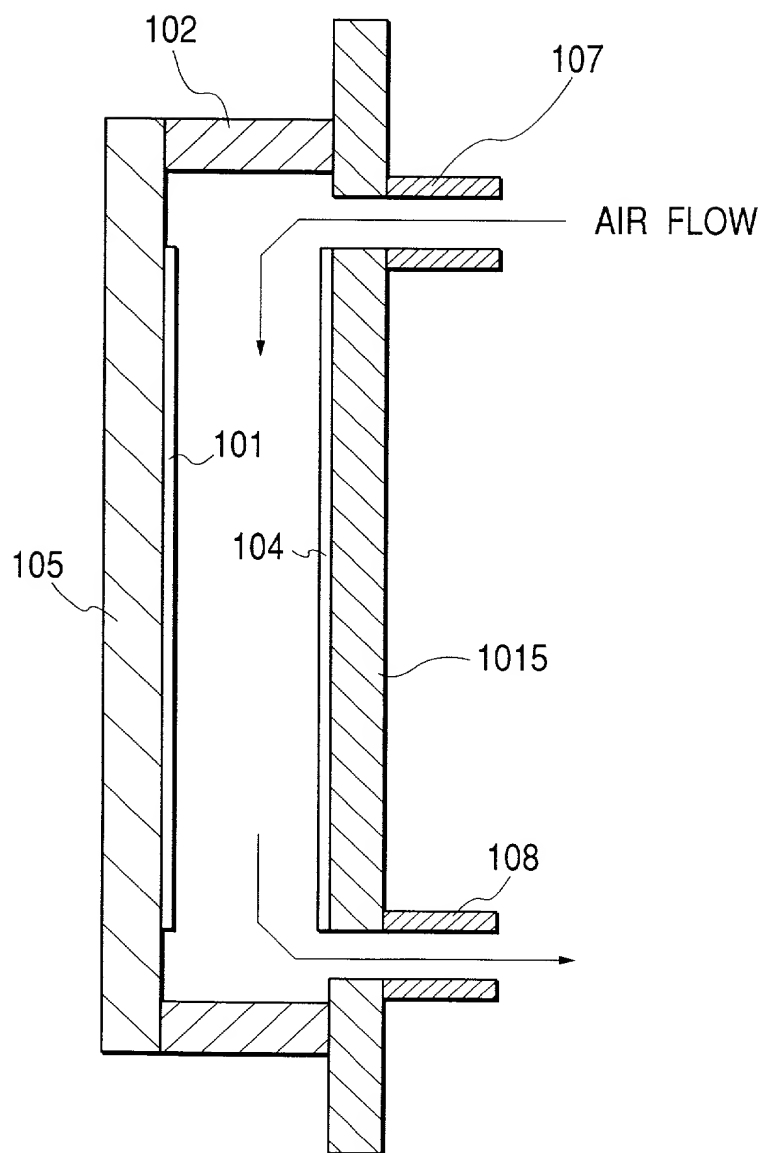
**FIG. 3**



**FIG. 4**



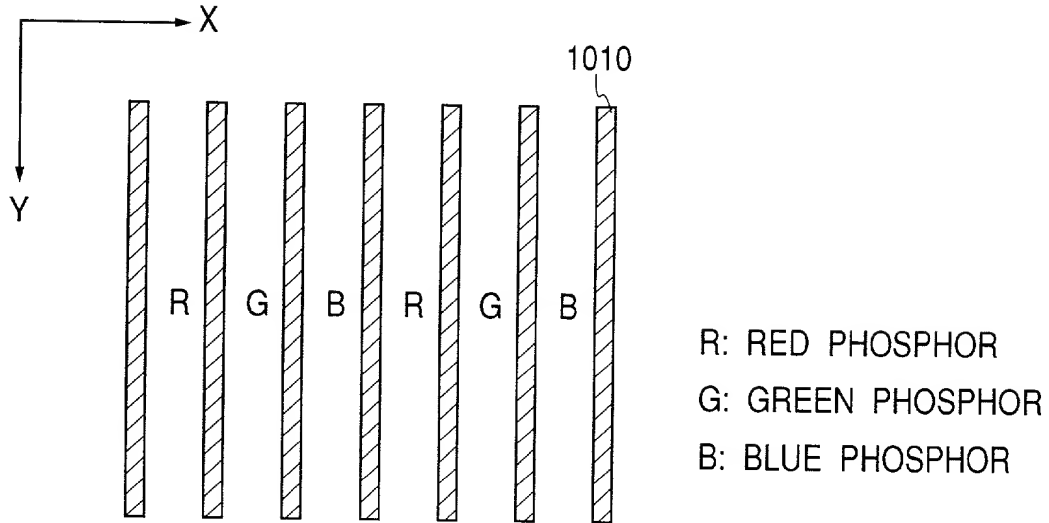
**FIG. 5**



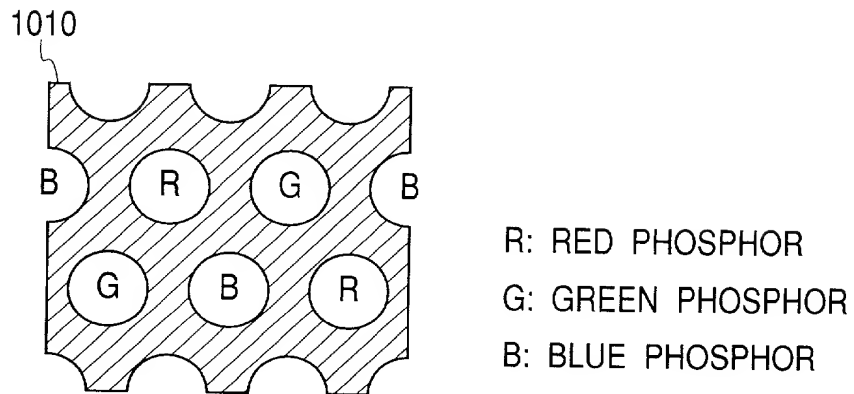


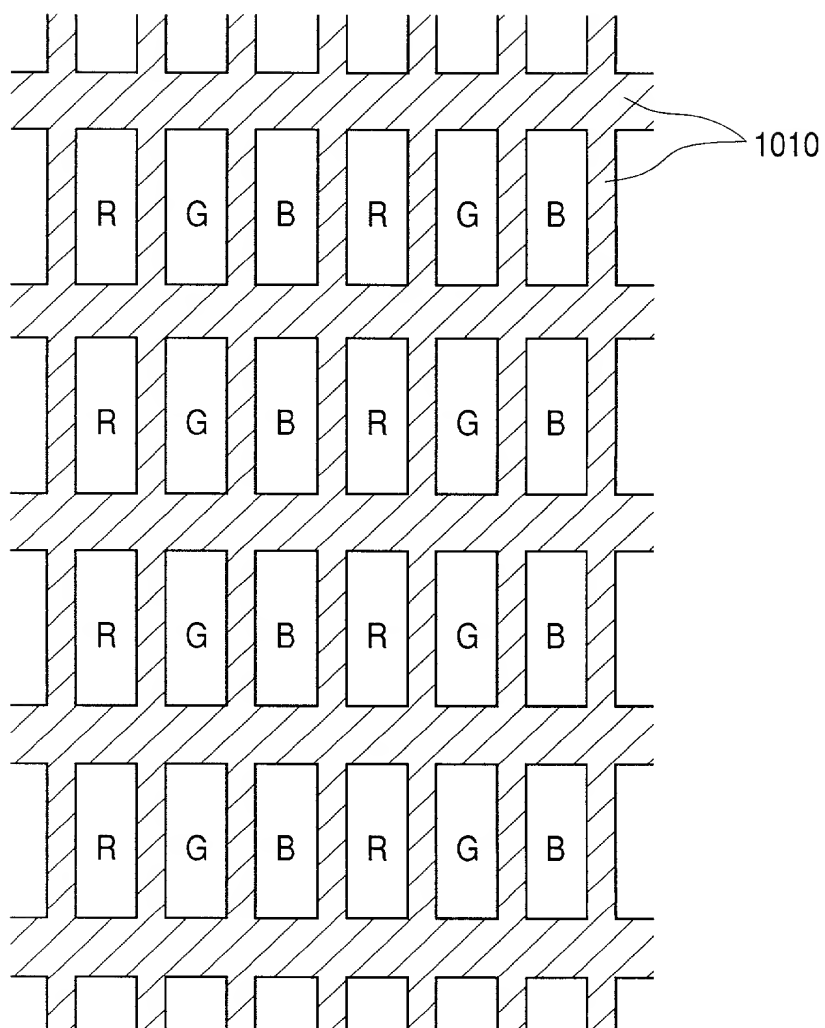


**FIG. 8A**



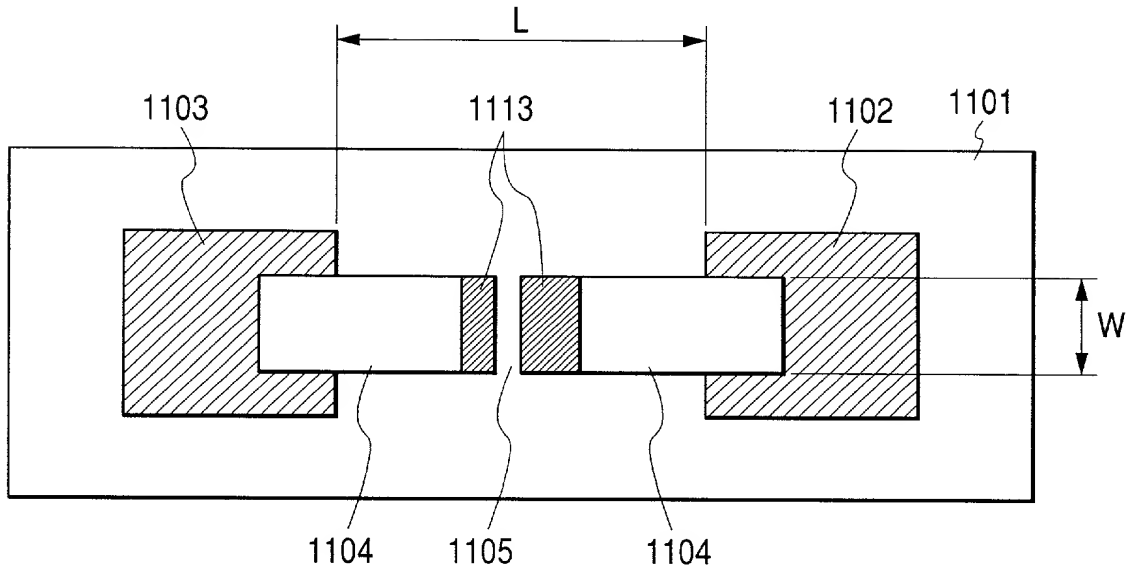
**FIG. 8B**



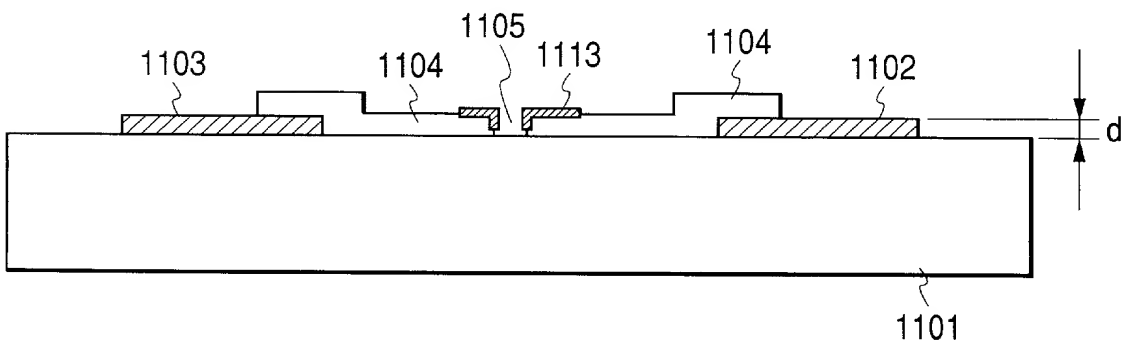
*FIG. 9*



**FIG. 10A**



**FIG. 10B**



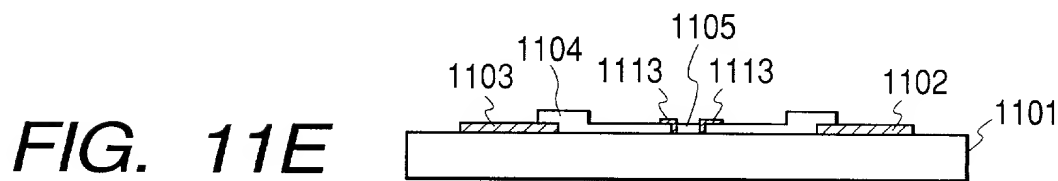
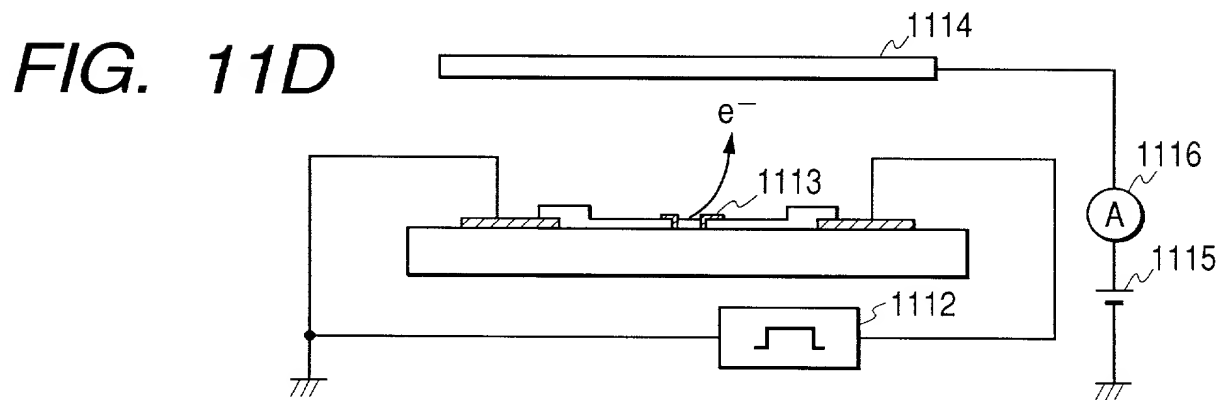
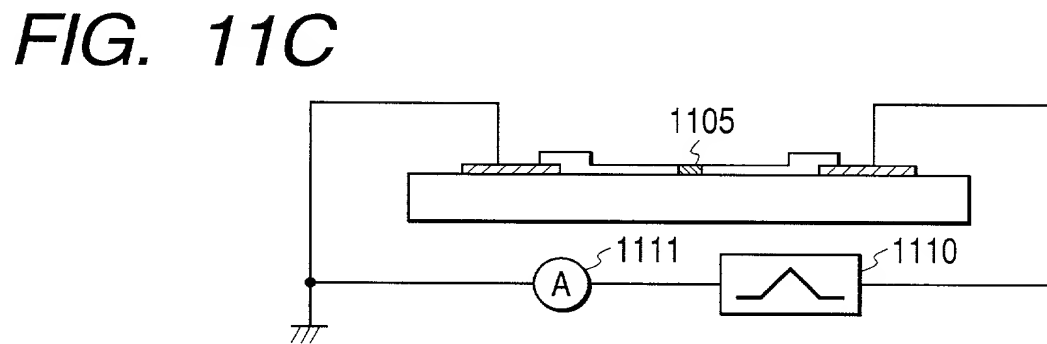
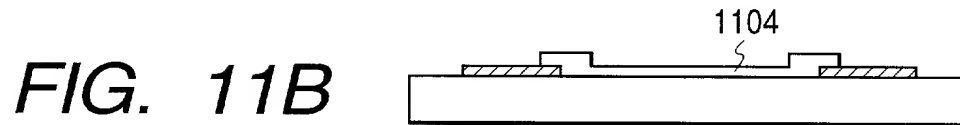
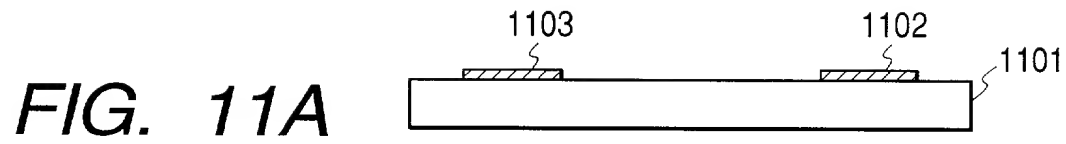
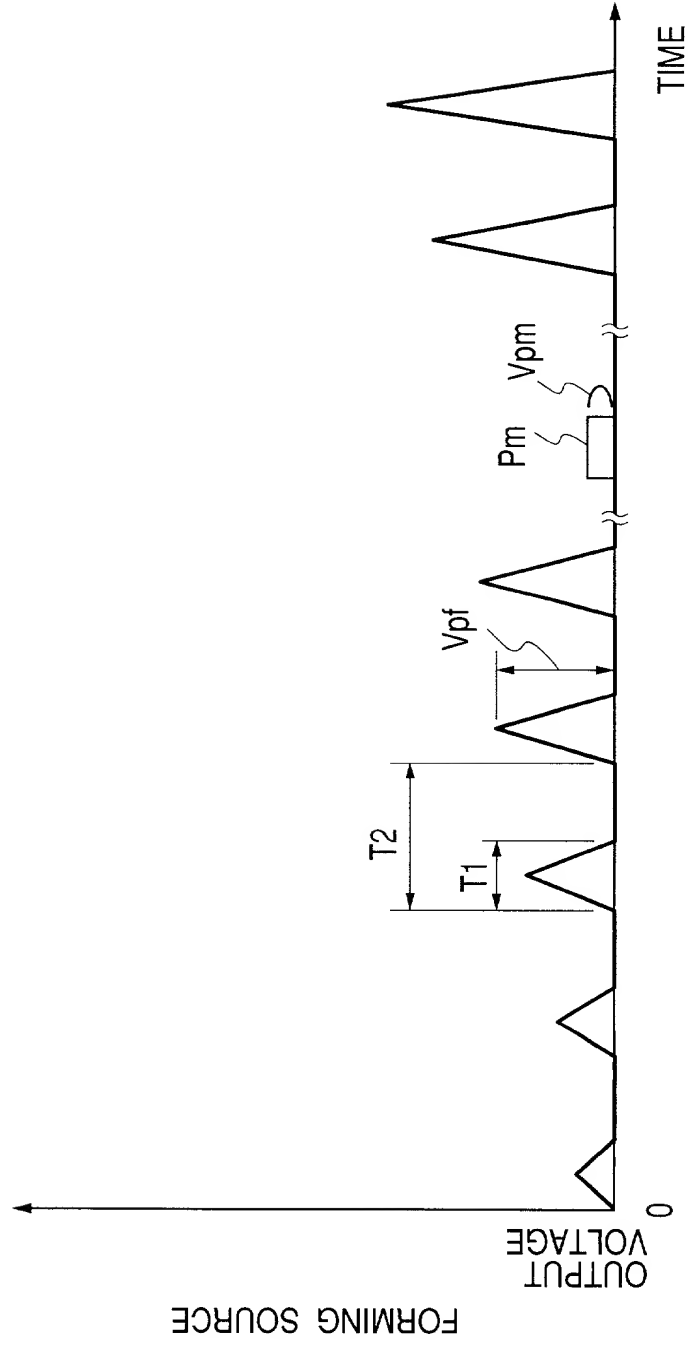
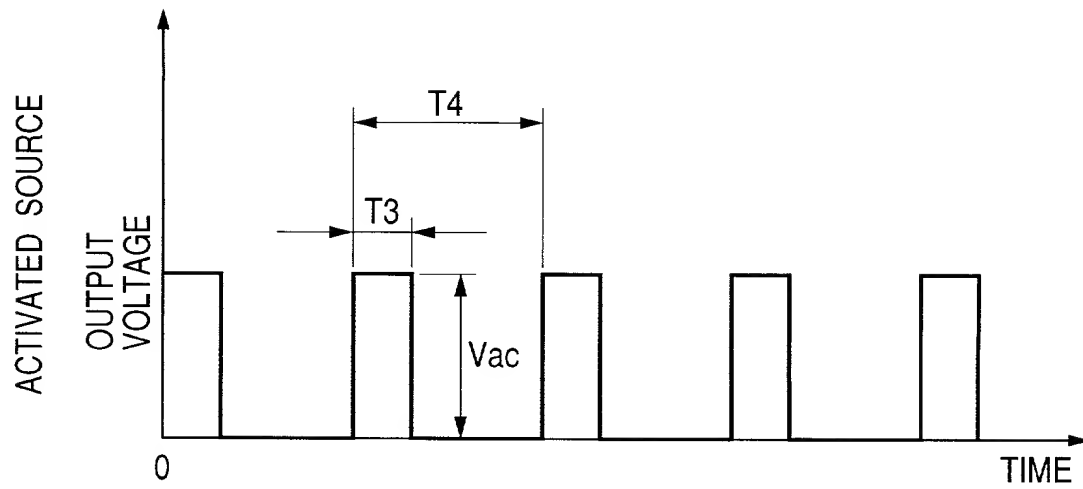


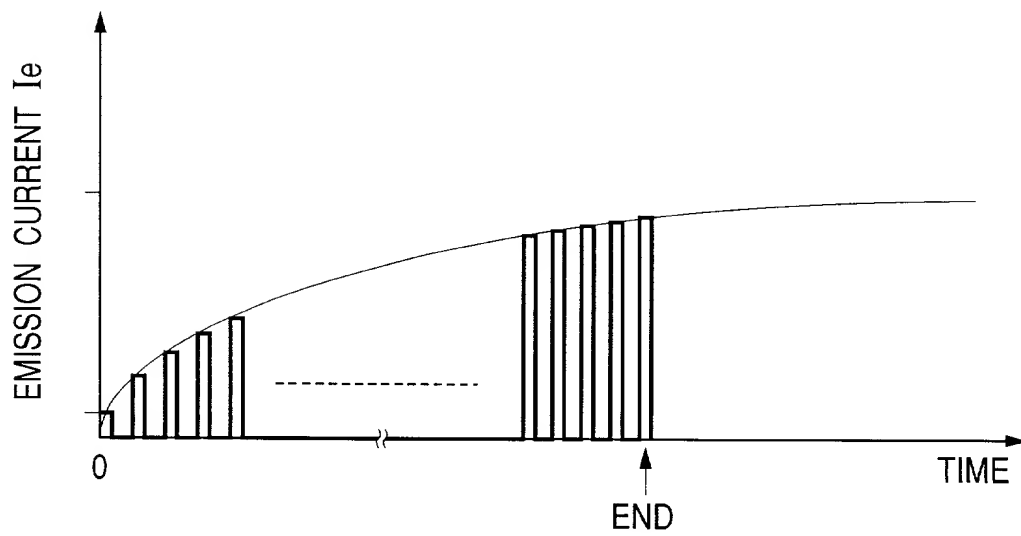
FIG. 12



**FIG. 13A**

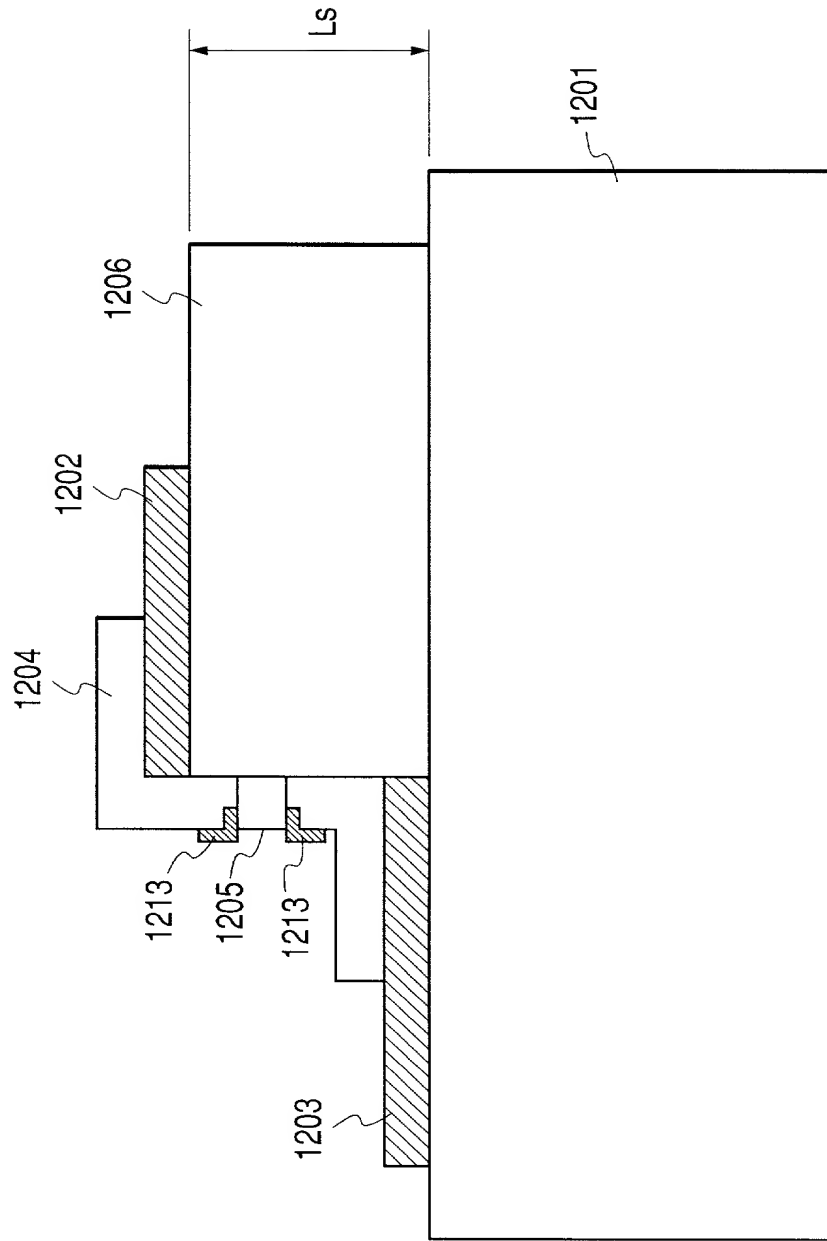


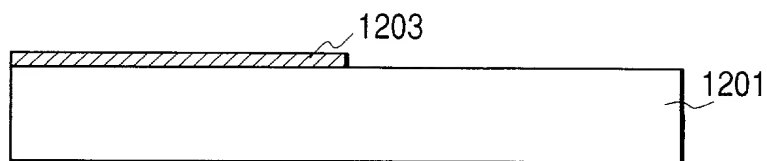
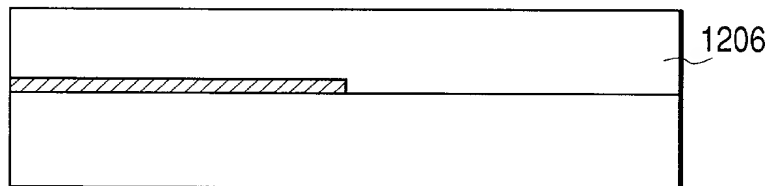
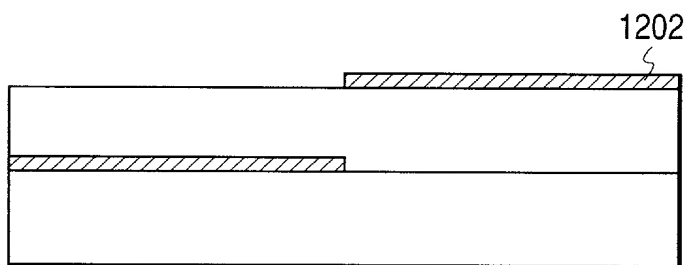
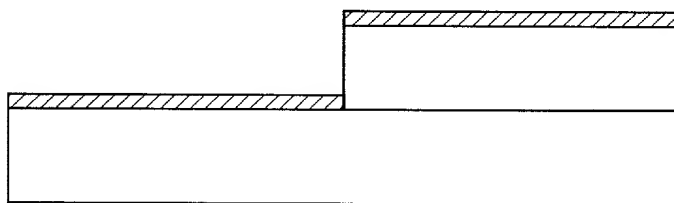
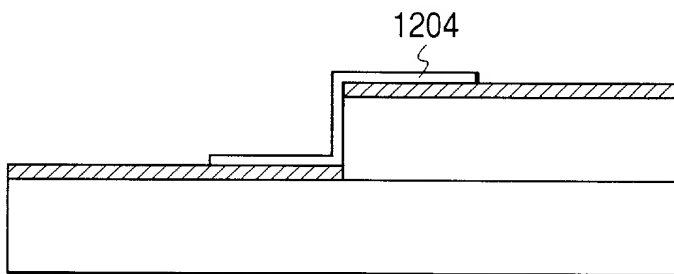
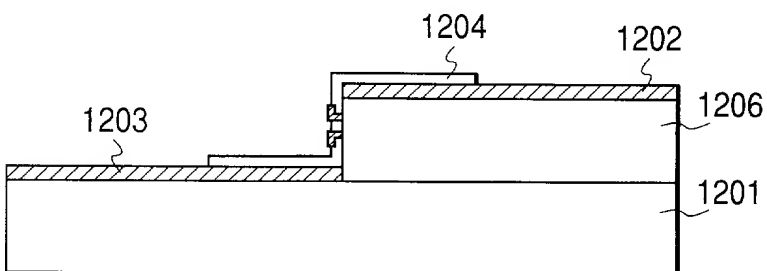
**FIG. 13B**

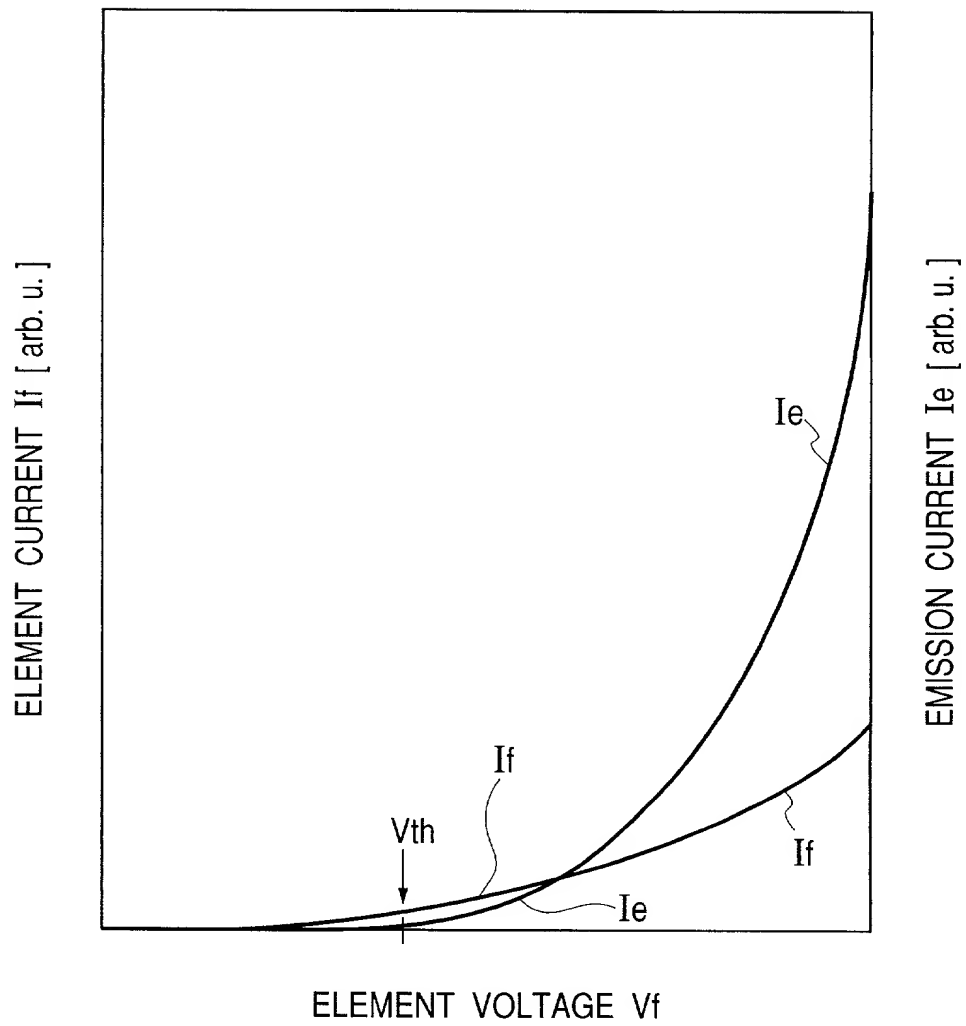


ENERGIZATION ACTIVATING PROCESSING ENDED

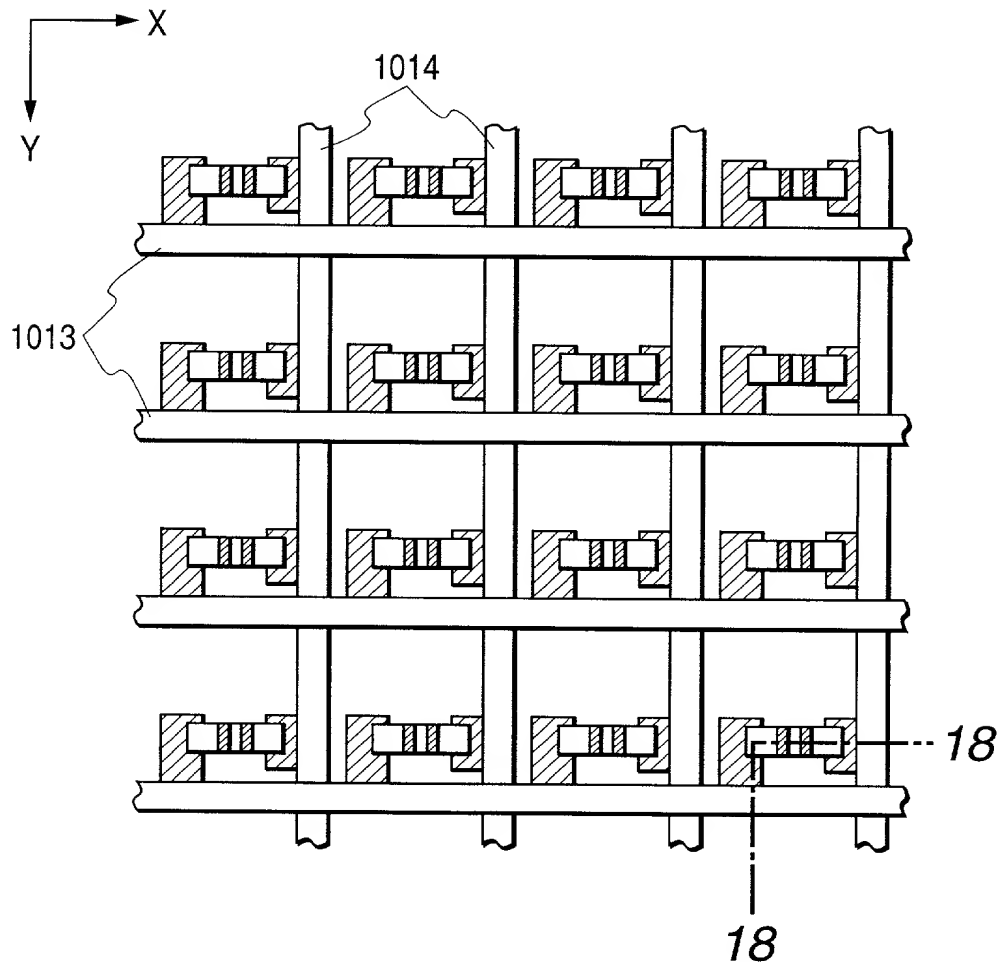
FIG. 14



**FIG. 15A****FIG. 15B****FIG. 15C****FIG. 15D****FIG. 15E****FIG. 15F**

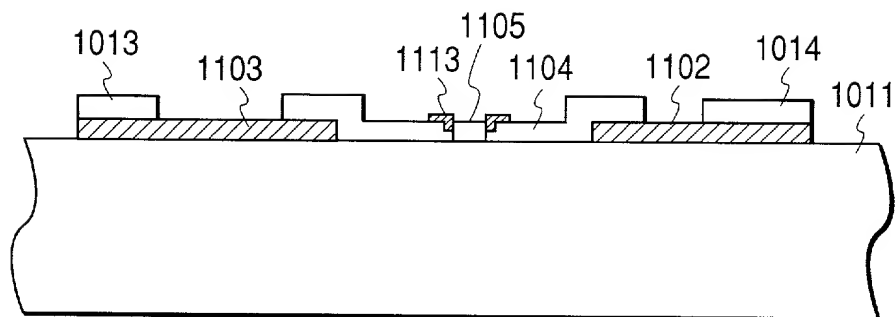
**FIG. 16**

**FIG. 17**

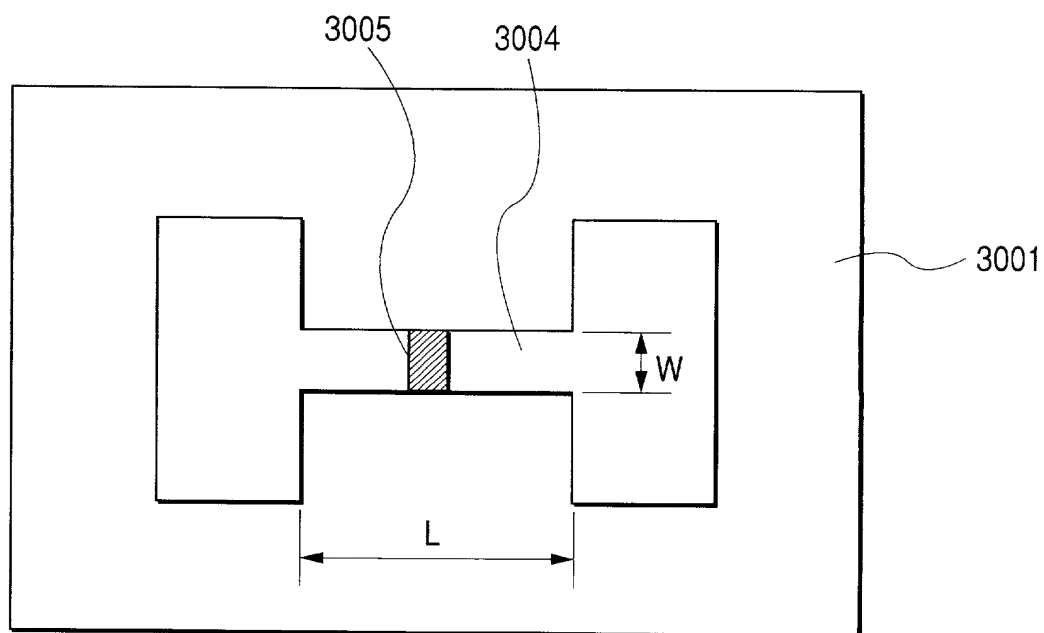




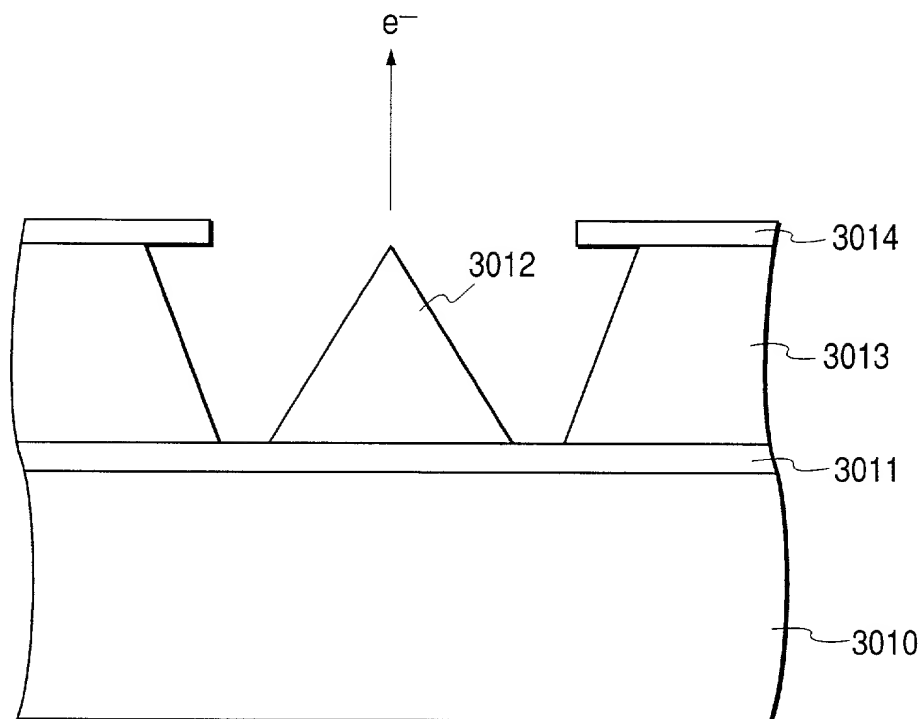
**FIG. 18**



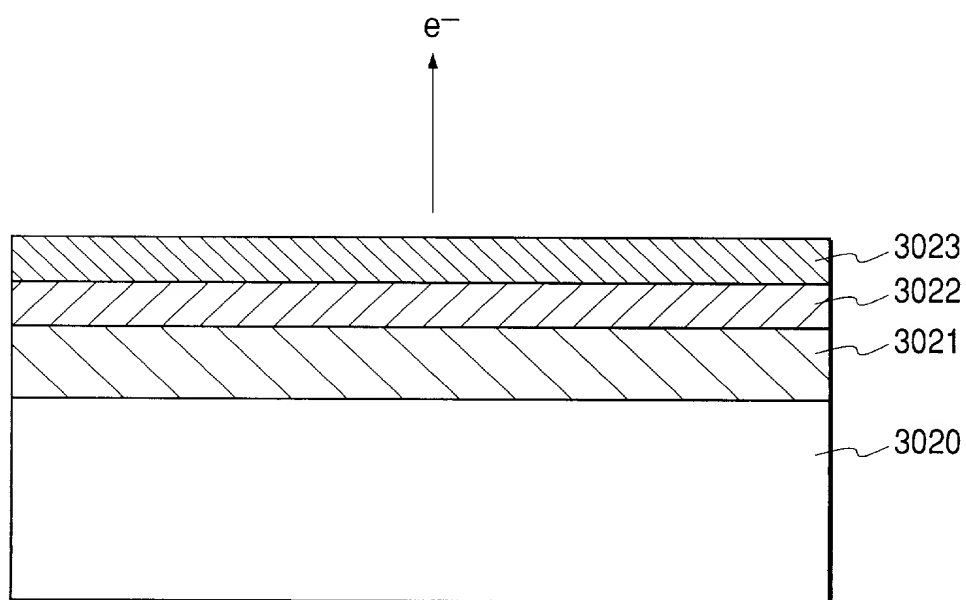
**FIG. 19**



**FIG. 20**



**FIG. 21**



**FIG. 22**

